

بررسی اثر تابش لیزر کم توان فروسرخ با حالت منقطع بر التیام زخم باز پوستی در موش‌های سالم و دیابتی شده به وسیله استرپتوزوتوسین با استفاده از یک روش ارزیابی بیومکانیکی

زن العابدین شریفیان^{*}, محمد بیات^{**}, مرتضی علیدوست^{*}, روح‌ا... گازر^{*}, Ph.D.

معصومه دادپی^{*}, رضا ماستری فراهانی^{**}, سعید بابایی^{*}, مریم سلیمانی^{*}, M.Sc. Student

* گروه اناتومی و بیولوژی دانشکده پزشکی دانشگاه علوم پزشکی شهید بهشتی، تهران، ایران

** گروه پاتولوژی دانشکده پزشکی دانشگاه علوم پزشکی ارشد، تهران، ایران

تاریخ دریافت: مرداد ماه ۹۰ تاریخ پذیرش: آبان ماه ۹۰

چکیده

هدف: بررسی تاثیر لیزر کم توان فروسرخ با حالت منقطع بر التیام زخم‌های با ضخامت کامل پوستی در موش‌های صحرایی دیابتی

مواد و روش‌ها: ۱۸ سر موش صحرایی بالغ به دو گروه سالم و یک گروه دیابتی تقسیم شدند. دیابت در موش‌ها با تجویز داخل

صفاقی استرپتوزوتوسین القا شد. در همه موش‌های دادو زخم برشی با ضخامت کامل پوست در ناحیه پشت ایجاد شد.

۲ زخم به دو گروه شم (sham) و لیزر تقسیم شد. به زخم‌های لیزر موش‌های سالم لیزر فرو سرخ با طول موج ۸۹۰ نانومتر و

فرکانس ۸۰ هرتز به مدت ۲۰۰ ثانیه با دوز ۰/۰۷ زول بر سانتی متر مربع برای هرنقطه تابش شد. به زخم‌های لیزر گروه موش‌های

تجربی دیابتی، همان لیزر به مدت ۲۰۰ ثانیه با دوز ۰/۰۷ زول بر سانتی متر مربع برای هر نقطه تابش شد. تابش روزی ۱ بار و ۶ روز در

هفتۀ انجام شد. ۱۵ روز بعد از ایجاد زخم، از زخم‌ها نمونه‌برداری شد و آزمایش بیومکانیکی از نوع کشش پذیری (tensiometry)

روی آن‌ها انجام و نیروی حداکثر (N) آن‌ها محاسبه شد.

یافته‌ها: آزمایش‌های تنسیومتری نشان داد که تابش لیزر فروسرخ با دوز ۰/۰۷ زول بر سانتی متر مربع برای هر نقطه، موجب افزایش

معنی‌دار نیروی حداکثر زخم‌های لیزر گروه‌های تجربی سالم ($p=0.021$) و دیابتی ($p=0.000$) در مقایسه با زخم‌های گروه شم سالم

و دیابتی شد.

نتیجه‌گیری: تابش لیزر فروسرخ منقطع با دوز ۰/۰۷ زول بر سانتی متر مربع علاوه بر تسريع بهبود زخم در هر دو گروه سالم و دیابتی بر

زخم‌های دیابتی نیز مؤثرتر است.

کلیدواژه‌ها: لیزر کم توان فروسرخ، دیابت، پوست، فرآیند التیام زخم، آزمایش بیومکانیکی

آدرس مکاتبه: تهران، اوین، دانشگاه علوم پزشکی شهید بهشتی، دانشکده پزشکی،

گروه اناتومی و بیولوژی، صندوق پستی: ۱۹۳۹۵-۴۷۱۹

Email: bayat_m@yahoo.com

مقدمه

مجله علوم تشریح ایران، سال نهم، شماره ۳۶، پاییز ۹۰، صفحات ۲۱۵-۲۲۸

و خاموش (دوره منقطع خاموش) دارند که متعاقب زمان‌های روشن و فعال موج ضربانی رخ می‌دهد. این لیزرهای گرمای کمتری تولید می‌کنند و در مواردی کاربرد دارد که می‌خواهیم نور به بافت‌های عمقی تر نفوذ کند و بنابراین توان را باید افزایش داد تا انرژی کافی برای رسوخ به درون بافت فراهم شود. این افزایش توان در شرایط موج پیوسته باعث گرم شدن بافتی در لایه‌های سطحی می‌شود و در این شرایط نور منقطع (که گرمای کمتر تولید می‌کند) مؤثر واقع می‌شود. از طرفی نور منقطع واقعاً ممکن است مؤثرتر از نور پیوسته باشد: در دوره‌هایی که موج منقطع در وضعیت خاموش است گرمادهی به بافت کاهش می‌یابد بنابراین در موج منقطع اجازه کاربرد حداکثر (peak) تراکم توان بیشتر نسبت به موج پیوسته به صورت اینم و بالقوه وجود دارد [۱۱]. مروری بر منابع و تحقیقات انجام شده نشان داد که لیزرهای دیود از نوع منقطع (pulsed) باعث بروز تأثیرهای زیر می‌شود: افزایش تعداد فیبروبلاست‌ها در محیط کشت در مقایسه با گروه شاهد [۱۲-۱۴]، افزایش رسوب کلائز و تکثیر بیشتر میوفیبروبلاست‌ها [۱۵]، افزایش روند انقباض زخم (wound closure) در یک مدل تجربی زخم افراد سالم [۱۶]، شتاب بخشی التیام زخم ساق بیماران [۱۷] و زخم‌های سطحی گروهی از داوطلبان [۱۸]، بهبود توبرکولوزیس ریوی مقاوم به درمان [۱۹]، کاهش درد در بیماران مبتلا به اختلال‌های عضلانی اسکلتی [۲۰-۲۳]، افزایش رشد و تکامل اندام‌های حرکتی جنین ۱۴ روزه موش در محیط کشت ارگان [۲۴] [۲۵] (Organ culture)، عدم آسیب به مغز سالم موش [۲۵]، ترمیم جراحت‌های دستگاه عصبی مرکزی [۲۶-۲۹] و بهبودی تقایص دستگاه عصبی محیطی [۲۹]، تکثیر استئوپلاست‌ها در محیط کشت [۳۱-۳۳]، افزایش چسبندگی بین استخوان و ایمپلنت [۳۴] و بالاخره شتاب بخشی ترمیم لیگامان [۳۵ و ۳۶] و تاندون و کاهش درد والتهاب در یک مدل حیوانی التهاب تاندون [۳۷]. اما در خصوص مزایای مثبت کاربرد لیزرهای دیود پیوسته بر فرآیند التیام زخم بین محققان اختلاف نظر وجود دارد [۴۷ و ۴۵-۴۸]. هر چند در

متأسفانه آمارهای پزشکی جدید و کاملی در خصوص شیوع و بروز مبتلایان به دیابت در کشور ما در دسترس نیست. البته دکتر عزیزی و همکاران در سال ۲۰۰۳ میلادی میزان مبتلایان به دیابت را ۱۵/۱ میلیون نفر بر آورد کردند [۱] از این رو مجبور هستیم به آمار دیگر کشورها استناد کنیم. تقریباً سالیانه حدود ۵۰ میلیون عمل جراحی در کشور آمریکا رخ می‌دهد [۲]. به علاوه ۵۰ میلیون زخم ضربه‌ای (Traumatic wounds) دیگر نیز به موارد فوق اضافه می‌شود [۳]. برای بهبودی این جراحات تقریباً حدود ۲۵۰ میلیون بیمار - روز و میلیون‌ها دلار هزینه صرف می‌شود. وقتی که عوارض زخم‌های حاد را هم در نظر بگیریم، هزینه‌ها بیشتر هم می‌شود. همچنین با وجود پیشرفت‌های تکنیکی میزان بالایی از باز شدن برش‌های جراحی لپاراتومی، تشکیل فتق‌های برشی، نشت آناستوموزهای معدهای روده‌ای، فیستول‌های لوزالمعده، آنوریسم‌های کاذب عروقی، رد و شکست پیوندهای پوستی، استامپ (Stump) قطع عضوهای سخت و جوش نخوردن استخوان رخ می‌دهد [۴]. از طرفی دیابت یکی از مهمترین عواملی است که موجب بروز اختلال در فرآیند التیام زخم می‌شود. التیام زخم بیمارهای دیابتی فرآیند پیچیده‌ای است که مدت زمان لازم برای التیام آن از زخم‌های معمولی بیشتر طول می‌کشد و هزینه آن در کشور آمریکا سالیانه بیش از یک بیلیون دلار است و درمان این زخم‌ها یکی از چالش‌های پزشکی در آن کشور محسوب می‌شود [۵ و ۶]. در بیماران دیابتی یک زخم کوچک اغلب تبدیل به زخمی مزمن و غیرقابل التیام می‌شود و این زخم‌ها اغلب عفونی شده و حتی ممکن است دچار گانگرن و حتی قطع عضو شود [۷ و ۸].

لیزرهای کم توان بهوسیله تحقیقات پروفسور میستر (Mester) و همکارانش از کشور مجارستان به عنوان یک وسیله درمانی برای التیام زخم مطرح شد [۹ و ۱۰]. در این خصوص هاشمی (Hashemi) و همکاران گزارش کردند نور لیزر با حالت منقطع مزایای بالقوه فراوانی دارد: به دلیل این که آن‌ها دوره‌های روشن

التیام سریع‌تر زخم شده و از درد بیماران بکاهد و موجب صرفه‌جویی در هزینه‌های درمانی شود.

مواد و روش‌ها

حیوان موردن بررسی

۱۸ سر موش صحرایی (Rat) نر بالغ نژاد Wistar با وزن ۲۰۰ الی ۲۳۰ گرم از انتستیتو پاستور ایران تهیه شدند. موش‌ها به صورت تصادفی به دو دسته سالم و دیابتی تقسیم شدند. دسته سالم دارای ۱۲ سر موش صحرایی بود که به ۲ زیر گروه مساوی برای تابش دو دوز مختلف لیزر تقسیم شدند. دسته دیابتی هم دارای ۶ سر موش صحرایی بود که در یک گروه و تحت تابش لیزر قرار گرفتند.

نحوه القای دیابت

از طریق ایجاد زخم کوچکی در انتهای دم از موش‌های گروه دیابتی خون ناشتا گرفته و قند خون آن‌ها به وسیله دستگاه پرتاپل اندازه‌گیری قند خون (Biomine, Rightest™ GM300, Biomine Corporation, Switzerland) ثبت شد. استرپتوفوتونسین (streptozotocin, STZ) با نام تجاری Zanosar محصول شرکت (Enzo Life Sciences, USA) در آب مقطّر استریل حل و به صورت تازه و به نسبت وزن هر موش (۵۵mg/kg) به صورت داخل صفاقی و طی یک بار به موش‌های گروه دیابتی تزریق شد. بعد از گذشت یک هفته، دوباره از آن‌ها خون گرفته شد و قند خون آن‌ها ثبت و در صورتی که بالای ۲۵۰ میلی گرم بر دسی لیتر بود، دیابتی محسوب شدند. سپس از زمان تزریق به مدت یک ماه تأمل شد تا شرایط هیپرگلیسمی در آن‌ها تشییت شود. در زمان‌های جراحی و نمونه‌برداری مجدد وزن و قند خون آن‌ها ثبت شد در صورتی که قند خون آن‌ها کمتر از ۲۵۰ میلی گرم بر دسی لیتر بود، از برنامه تحقیق حذف شدند [۵۳]. و در صورتی که موش‌ها دیابتی نشده بودند تجویز استرپتوفوتونسین یکبار دیگر تکرار شد و در غیر این صورت از

تحقیقاتی آثار مثبت این لیزرها بر فرآیند التیام زخم گزارش شده است [۴۷-۴۹، ۳۱-۳۳]، اما بررسی‌های دیگر از آثر مثبت لیزر روی فرآیند التیام زخم حمایت نکرده‌اند [۴۲-۴۷]. به همین دلیل هنوز محققان در خصوص کاربرد این لیزر روی تسريح بخشی فرآیند التیام زخم اختلاف نظر دارند. در تحقیقاتی که اخیراً انجام شده است از انواع مختلف لیزر دیود با طول موج‌ها، قدرت‌ها و دوز‌های تحریکی مختلف استفاده شده است اما همچنان پیشنهاد مشخصی در این خصوص ارایه نشده است. از طرف دیگر تاکنون تأثیر لیزر فرو سرخ با طول موج ۸۹۰ نانومتر و فرکانس ۸۰ هرتز روی التیام زخم پوستی بررسی نشده است و در تنها تحقیقی که توسط ماتیس (Matic) و همکاران انجام شد تأثیر لیزر با طول موج ۸۹۰ نانومتر و فرکانس ۱۵۰۰ هرتز ارایه شده است. روند التیام زخم موش‌های سالم به وسیله معیار بسته شدن زخم ارزیابی شد و تأثیر مثبت آن گزارش شد [۱۶]. لازم به ذکر است راجع به آثار لیزرها کم توان از نوع پیوسته بر زخم‌های حیوانات دیابتی و محیط کشت حاوی غلظت زیاد گلوگز تحقیقات مختلفی انجام شده است که نتایج آن‌ها نشان دهنده تأثیر مثبت این لیزرها بر افزایش درصد کلاژن [۴۸]، افزایش پارامترهای بافت شناسی (سلول‌های التهابی، عروق و فیبروبلاست‌ها) [۴۹] و افزایش پارامترهای بیوشیمیایی و بیومکانیکی زخم‌های پوستی [۵۰] در حیوانات آزمایشگاهی دیابتی است. همچنین نتایج تحقیقات درون محیط کشت راجع به تأثیر لیزرها بر سلول‌های فیبروبلاست پوست انسان که شرایط دیابتی [۵۱] و زخمی شدن آن‌ها شبیه سازی شده بود [۵۲] نشان‌گر اثر مثبت آن‌ها بر تکثیر و همچنین پارامترهای مورفو‌لوزیکی و سلولی مولکولی فیبروبلاست‌ها بوده است.

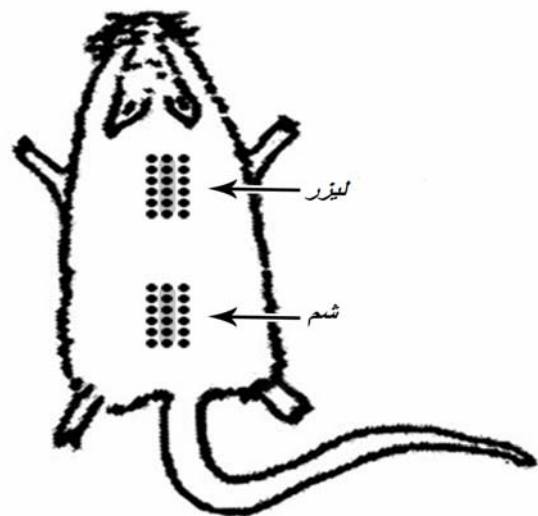
هدف تحقیق حاضر بررسی اثر لیزر دیود با طول ۸۹۰ نانومتر و فرکانس ۸۰ هرتز بر فرآیند التیام زخم برشی (incision) موش‌های سالم و دیابتی شده به وسیله استرپتوفوتونسین به روش ارزیابی کشش‌پذیری (tensiometry) است. نتیجه تحقیق حاضر ممکن است منجر به طراحی پروتکل‌های درمانی شود که باعث

شد. به زخم‌های لیزر موش‌های سالم ۲ دوز لیزر فروسرخ با طول موج ۸۹۰ نانومتر و فرکانس ۸۰ هرتز تابانده شد. برای هر نقطه از زخم‌های لیزر گروه تجربی یک (موش‌های سالم) لیزر به مدت ۳۰ ثانیه تابش شد و دوز آن ۰/۰۳ دوز بر سانتی‌متر مربع بود. به زخم‌های لیزر گروه تجربی دو (موش‌های سالم) همان لیزر به مدت ۲۰۰ ثانیه با دوز ۰/۲ دوز بر سانتی‌متر مربع برای هر نقطه تابش شد. به زخم‌های لیزر گروه تجربی سه (موش‌های دیابتی) همان لیزر به مدت ۲۰۰ ثانیه با دوز ۰/۲ دوز بر سانتی‌متر مربع برای هر نقطه تابش شد. محور طویل این برش‌ها سری دمی (cranio caudal) بوده و هر یک به طول ۱/۵ سانتی‌متر و با فاصله ۴ سانتی‌متر از یکدیگر در پوست پشت، یکی در ناحیه توراسیک فوقانی و دیگری در ناحیه لومبار با ضخامت کامل پوست و شامل عضله جلدی با اسکالپل نمره ۱۵ داده شد و فاصله دو لبه برش بوسیله بخیه زدن با یک کوک در قسمت میانی زخم با فاصله حدود ۳ میلی‌متر حفظ شد. در هر موش زخم‌ها به‌طور تصادفی به دو زخم شم (sham) و لیزر تقسیم شدند (شکل ۱).

جراحی

موس‌های دیابتی شده به‌وسیله تزریق داخل عضلانی کتمانیم به میزان ۵۰ میلی‌گرم بر کیلوگرم و دیازپام به میزان ۵ میلی‌گرم بر کیلوگرم بیهوش شدند. موی پشت آن‌ها تراشیده شد. پوست به‌وسیله بتادین و الکل طبی سفید ۷۰ درجه ضداعفونی شد. دو برش در پوست هر موش داده شد [۵۴].

محور طویل این برش‌ها سری دمی (cranio caudal) بوده و هر یک به طول ۱/۵ سانتی‌متر و با فاصله ۴ سانتی‌متر از یکدیگر در پوست پشت، یکی در ناحیه توراسیک فوقانی و دیگری در ناحیه لومبار با ضخامت کامل پوست و شامل عضله جلدی با اسکالپل نمره ۱۵ داده شد و فاصله دو لبه برش بوسیله بخیه زدن با یک کوک در قسمت میانی زخم با فاصله حدود ۳ میلی‌متر حفظ شد. در هر موش زخم‌ها به‌طور تصادفی به دو زخم شم (sham) و لیزر تقسیم شدند (شکل ۱).



شکل ۱. تصویر شماتیک محل برش‌های زخم‌های لیزر و شم (Sham) و نقاط تحت تابش لیزر در زخم لیزر و نقاط تابش خاموش در زخم شم

تابش لیزر

هر زخم و پوست اطراف آن به حدود ۱۸ نقطه تقسیم

بالتالي با استفاده از نظر آماری معنی دار بود ($p = 0.000$). وزن موش های دسته دیابتی در بدء تحقیق $224 \pm 27/7$ بود و اختلاف آنها $232 \pm 14/4$ و در انتهای دوره $224 \pm 27/7$ بود و اختلاف آنها با روش paired student t test از نظر آماری معنی دار بود ($p = 0.038$)

یافته های آزمایش بیومکانیک
تجزیه و تحلیل آزمایش های بیومکانیکی به روش paired student t test نشان داد:

(۱) تابش لیزر با دوز $0/0^3$ ژول بر سانتی متر مربع موجب بروز کاهش معنی دار آماری نیروی حداکثر در زخم های لیزر گروه تجربی یک (سالم) در مقایسه با زخم های شم همان گروه شد (paired student t test: $p = 0.015$) (جدول ۱).

(۲) تابش لیزر با دوز $2/0$ ژول بر سانتی متر مربع موجب بروز افزایش معنی دار آماری نیروی حداکثر در زخم های لیزر گروه تجربی دو (سالم) در مقایسه با زخم های شم همان گروه شد (paired student t test: $p = 0.021$) (جدول ۲).

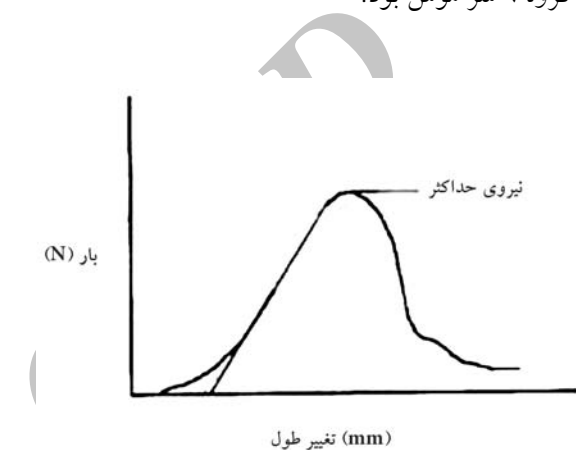
(۳) تابش لیزر با دوز $2/0$ ژول بر سانتی متر مربع بر زخم های لیزر گروه تجربی سه (دیابتی) سبب بروز افزایش معنی دار آماری برای پارامتر نیروی حداکثر نسبت به زخم های شم دیابتی شد (paired student t test: $p = 0.000$).

جدول ۱. میانگین و انحراف معیار نیروی حداکثر در موش های گروه تجربی یک با دوز $0/0^3$ ژول بر سانتی متر مربع برای هر نقطه

سطح معنی داری (p)	نیروی حداکثر (N) Mean \pm SD	زیر گروه	گروه
0.015	$8/50 \pm 1/08$	شم	تجربی ۱
	$5/11 \pm 1/60$	لیزر	(سالم)

براساس نتایج تجزیه و تحلیل آماری به روش paired student t test ، تابش لیزر با دوز $0/0^3$ ژول بر

بیست درجه منتقل شد. در موعد مقرر نمونه در دمای اتاق ذوب شد و تحت آزمایش تنسيومتری به وسیله دستگاه Zwick/Roell, Germany قرار گرفت. دو لبه نمونه به دو گیره ثابت و متحرک دستگاه متصل شد و گیره متحرک با سرعت ۱۵ میلیمتر در دقیقه از گیره ثابت دور شد و رایانه متصل به دستگاه منحنی load-deformation (force, MF) را با واحد نیوتون ارائه کرد (شکل ۲). تعداد نمونه برای گروه ۶ سر موش بود.



شکل ۲. منحنی بار تغییر شکل در آزمایش بیو مکانیکی تنسيومتری و محل پارامتر بیومکانیکی نیروی حداکثر

روش تجزیه و تحلیل داده ها
داده ها به روش student t test تجزیه و تحلیل آماری شد و $p < 0.05$ معنی دار تلقی شد. نتایج به صورت $mean \pm SD$ ارایه شد.

یافته ها

یافته های عمومی

قند خون موش های دسته سالم در بدء تحقیق $13/1 \pm 96/4$ و وزن آنها در بدء تحقیق $26/4 \pm 298/4$ و این وزن در انتهای دوره $23/37 \pm 257/6$ بود. اختلاف وزن موش ها از نظر آماری با روش paired student t test معنی دار بود ($p = 0.04$). قند خون موش های دسته دیابتی در ابتدای تحقیق $94/8 \pm 14/6$ و بعد از القای دیابت $77/13 \pm 454/4$ بود و اختلاف آنها با روش

با طول موج 890 نانومتر و فرکانس 80 هرتز و دوز $0/2\text{ ژول}$ بر سانتی‌متر مربع و مدت 200 ثانیه در هر نقطه بر زخم‌های لیزری موش‌های دیابتی در مقایسه با زخم‌های لیزری موش‌های سالم نوع زخم‌ها با همان لیزر و با دوز $0/03\text{ ژول}$ بر سانتی‌متر مربع و مدت 30 ثانیه برای هر نقطه نشان دهنده تاثیر منفی لیزر کم توان درمانی بر ویژگی بیومکانیکی نیروی حداکثر زخم‌های موش‌های سالم بود.

طی مرور مطالعاتی که در گذشته در خصوص اثر لیزر‌های کم توان مقطع بر فرآیند التیام زخم پوستی انجام شده است روشن شد که این تحقیقات تاکنون روی زخم‌های موش‌های سالم و غیر دیابتی بوده است و به نظر می‌رسد این تحقیق برای بار اول نتیجه اثر این نوع لیزرها را روی حیوان دیابتی گزارش می‌کند. تحقیقات فوق الذکر را می‌توان در دو گروه تحقیقات با نتایج مثبت و تحقیقات با نتایج منفی دسته‌بندی نمود:

ناسبابوم (Nusbaum) و همکاران در سال ۱۹۹۴ اثر تابش لیزری کم توان، اولتراسوند درمانی و طیف پرتو فرابینفش را به همراه پرستاری از زخم‌های فشاری روی 22 بیمار بررسی کردند. برنامه لیزر درمانی هفت‌های 3 بار انجام می‌شد و مشخصات لیزر از این قرار بود: یک کلاستر خوش‌ای با لیزر دیود به طول موج 820 نانومتر و 30 پرتو لیزری دیود فرانوری (superluminous) که مشتمل بر $10\times 3\text{ منبع لیزر}$ با طول موج‌های $660\text{ و }880\text{ و }950\text{ نانومتر}$ و تراکم انرژی 4 ژول بر سانتی‌متر مربع و میزان تکرار موج (فرکانس) 5000 موج در ثانیه و طول مدت موج 160 نانو ثانیه . محققان با تجزیه و تحلیل نتایج دریافتند که درمان زخم‌ها با ترکیب اولتراسوند و فرابینفش و پرستاری نتایج بهتری در مقایسه با لیزر دارد. آن‌ها اعلام کردند فاکتورهای مداخله‌گری که ممکن بوده است بر نتایج اثر

سانتی‌متر مربع موجب بروز کاهش معنی‌دار آماری پارامتر نیروی حداکثر زخم لیزری در مقایسه با زخم شم گروه تجربی یک شد ($p=0.015$).

جدول ۲. میانگین و انحراف معیار نیروی حداکثر درموش‌های گروههای تجربی دو و سه با دوز $0/2\text{ ژول}$ بر سانتی‌متر مربع برای هر نقطه

گروه	زیر گروه	نیروی حداکثر (N) Mean \pm SD	سطح معنی‌داری (p value)
تجربی ۲ (سالم)	شم	$7/19\pm 2/27$ $*10/28\pm 4/62$	0.021
تجربی ۳ (دیابتی)	شم	$5/48\pm 1/03$ $*8/50\pm 1/08$	0.000

نتایج تجزیه و تحلیل آمار به روش paired student t test نشان داد که:

- تابش لیزر با دوز $0/2\text{ ژول}$ بر سانتی‌متر مربع موجب بروز افزایش معنی‌دار آماری پارامتر نیروی حداکثر در زخم لیزری در مقایسه با زخم شم گروه تجربی دو می‌شود ($p=0.021$)
- تابش لیزر با دوز $0/2\text{ ژول}$ بر سانتی‌متر مربع موجب بروز افزایش معنی‌دار آماری پارامتر نیروی حداکثر در زخم لیزری در مقایسه با زخم شم گروه تجربی سه شد ($p=0.000$).

بهث

نتایج آزمایش بیومکانیکی نیروی حداکثر بافت‌های زخم‌های ترمیمی گروههای تجربی نشان دهنده افزایش نیروی حداکثر در زخم‌های لیزری در موش‌های سالم و دیابتی بود. بررسی دقیق سطح معنی‌داری اختلافات آماری نمایانگر اثر بیشتر و معنی‌دار لیزر کم توان با امواج منقطع

دیگری لوو (Lowe) و همکاران تاثیر تابش نور مونوکروماتیک کم تراکم از نوع گالیوم آلمینیوم آرسناید با طول موج ۸۹۰ نانومتر و تراکم انرژی (radiant exposure) و ۱/۴۵ ژول بر سانتی متر مربع با حداکثر توان خروجی ۳۰۰ میلی ولت و میزان تکرار ضربان ۲۷۰ هرتز که به وسیله ۶۰ پرتوپ دیود به ناحیه‌ای با مساحت ۲۲/۵ سانتی متر مربع و سه بار در هفته تابش شد را بررسی کردند؛ مساحت زخم‌ها 7×7 سانتی متر مربع بود که قبله به وسیله پرتو x ایجاد شده بود (۵۷). آن‌ها تاثیر تابش نور را به وسیله اندازه‌گیری تغییرات سطح زخم به وسیله یک سیستم آنالیز تصویری ثبت و داده‌ها را به وسیله تکرار اندازه‌گیری با روش one way ANOVA کردند. تابش نور مونوکروماتیک با تراکم‌های انرژی ۰/۱۸ ژول بر سانتی متر مربع و ۰/۵۴ ژول بر سانتی متر مربع اثربروی روند انقباض زخم نداشت اما تاثیر منفی معنی‌دار آماری بر روند انقباض زخم با دوز ۱/۴۵ ژول بر سانتی متر مربع در روز ۱۶ بعد از ایجاد زخم داشت. آن‌ها اعلام کردند در مدل زخمانی فاز تکثیر طولانی شده بود در حالی که چنین تغییری در فاز‌های التهاب و تجدید ساختار معنی‌دار نبود. آن‌ها در توجیه نتایج اعلام کردند که مکانیسم احتمالی برای نحوه عمل فوتواستیمولیشن (photo stimulation) جذب انرژی نور به وسیله میتوکندری‌هاست که این باعث افزایش انرژی سلول و افزایش نفوذپذیری غشای سلول و تحریک آزاد کردن میانجی‌های شیمیایی در گیر در التیام زخم است؛ اما با توجه نبود چنین اثر تحریکی روشن است که به دنبال برنامه تابش لیزر با پارامترهایی که در تحقیق‌شان به کار رفته است چنین مکانیسمی رخ نداده است. آن‌ها در نهایت اعلام کردند که شناخت مقایص موجود در فرآیندهای التیام زخم مزمن و تاخیری ضرورت دارد و همچنین باید

منفی داشته باشد، کنترل شده بود. آن‌ها در توجیه و تفسیر برخی نتایج اعلام داشتند که سطح زخم‌های گروه لیزر اغلب با چرک (purulent) پوشیده شده بود [۵۵] و از آنجایی که کارو (Karu) و همکاران لیزر با طول موج ۹۵۰ نانومتر و تراکم قدرت (PD: power density) ۱۲۰ میلی ولت بر سانتی متر مربع را روی محیط کشت استفاده کرده بودند و ارتباطی بین تکرار موج (۵۰۰۰ هرتز) و چگالی انرژی را نشان داده بودند که با میزان تکرار موج ۵۰۰۰ تنها با تراکم انرژی بیش از ۳۰ ژول بر سانتی متر مربع تکثیر باکتری‌ها متوقف شد [۵۶]، بنابراین نوستام (Nusstaum) و همکاران نتیجه گرفتند که فرکانس موج ۵۰۰۰ هرتز و چگالی انرژی ۴ ژول بر سانتی متر مربع ممکن است توجیه گر مشاهده چرک در سطح زخم‌ها باشد به عبارت دیگر؛ میزان تکرار موج ۵۰۰۰ و چگالی انرژی ۴ ژول بر سانتی متر مربع برای باکتری زدایی از زخم‌ها کم بوده است [۵۵]. در تحقیق حاضر هم تابش لیزر منقطع با دوز ۰/۰۳ ژول بر سانتی متر مربع بر هر نقطه نه تنها تاثیر مثبت نداشت بلکه موجب کاهش معنی‌دار معیار آزمایش بیومکانیکی نیروی حداکثر زخم‌های لیزری در مقایسه با گروه شم شد. اما با افزایش دوز به $2/0$ ژول بر سانتی متر مربع و مدت زمان تابش در هر نقطه به ۲۰۰ ثانیه که با افزایش تراکم انرژی همراه است، نیروی حداکثر زخم لیزری در مقایسه با گروه شم افزایش معنی‌دار یافت که این افزایش در موش‌های دیابتی از سطح معنی‌داری بالاتری هم برخوردار بود.

تابش لیزر در تحقیق حاضر به صورت منقطع است یعنی دوره‌های روشن و خاموش دارد؛ بنابراین برای حصول نتایج مثبت طول مدت تابش لیزر باید آنقدر طولانی باشد تا جبران دوره‌های خاموش لیزر را نماید تا نور لیزر بنواند آثار خود را بر بافت اعمال نماید. در تحقیق

(rat) بررسی کردند (۱۶). محققان لیزر کم توان نیمه رسانا با طول موج ۸۹۰ نانومتر و میزان تکرار ضربان ۱۵۰۰ هرتز و طول موج ۳۰۰ نانوثانیه و حداکثر قدرت خروجی ۳۶ میلی‌ولت و متوسط قدرت خروجی ۱۵/۴ میلی‌ولت را به مدت زمان ۵ دقیقه و در ۲۱ روز پی در پی تابانند. زخم‌های شاهد در موش دیگری ایجاد شده بود. میزان انقباض زخم‌ها در گروه لیزر نسبت به گروه شاهد به‌طور معنی‌داری بیشتر بود. محققان در توجیه آثار نتایج مثبت لیزر به نتایج مثبت سایر تحقیقات مربوط به لیزر اشاره کردند و اعلام کردند انتخاب صحیح پارامترهای تابش و ترکیب احتمالی آن‌ها می‌تواند موجب تسريع بخشی فرایند التیام زخم شود. واشقانی (Vasheghani) و همکاران اثر لیزر دیود فروسرخ با طول موج ۸۹۰ نانومتر و میزان تکرار موج ۸۰ هرتزو مدت زمان ۶۹۴ ثانیه برای هر نقطه تابش و مجموعه ۳ نقطه تابش بر التیام سوختگی درجه ۳ را در موش صحرایی آزمایش کردند. تجزیه و تحلیل داده‌ها نشان داد میزان انقباض زخم در موش‌های تیمارشده به‌وسیله لیزر به‌طور معنی‌داری بیش از زخم‌های سوختگی شاهد بود. آن‌ها در توجیه نتایج مثبت به اهمیت دو پارامتر حیاتی در تابش لیزر یعنی مدت زمان تابش و میزان تکرار موج (فرکانس) اشاره کردند [۵۹]. بارولت (Barolet) و همکاران اعلام کردند تأثیر پارامترهای تابش در نور درمانی باشد که اعلام کردند که این نتایج را می‌توانند تأثیر کنند. آن‌ها این نتایج را می‌دانند که این نتایج را می‌توانند تأثیر کنند. آن‌ها این نتایج را می‌دانند که این نتایج را می‌توانند تأثیر کنند.

آن‌ها نور red-light-emitting diode با طول موج ۶۳۰ نانومتر و تراکم قدرت (irradiance) ۸ میلی‌ولت بر سانتی‌متر مربع و مدت تابش ۱۰۰ ثانیه و مدت زمان ضربان ۵۰۰ میکروثانیه و تراکم انرژی تام (total flounce) ۱/۳۳ ژول بر سانتی‌متر مربع و فاصله زمانی بین دو موج

استراتژی‌های درمانی را توسعه داد تا در این زخم‌ها اعمال و به رفع این اختلال‌ها کمک شود [۵۷]. لوکاس (Lucas) و همکاران لیزر کم توان درمانی از نوع لیزر دیود گالیوم آرسناید فروسرخ با طول موج ۹۰۴ نانومتر و میزان تکرار موج ۸۳۰ هرتز و مدت زمان موج ۱۵۰ نانوثانیه و میانگین قدرت موج ۱۲×۸ میلی‌ولت و تراکم انرژی یک ژول بر سانتی‌متر مربع که ۱۲۵ ثانیه طول می‌کشید را ۵ بار در هفته بر زخم‌های فشاری بیماران به عنوان یک درمان کمکی علاوه بر درمان رایج که شامل تمیز کردن زخم و پانسمان ساده مرتبط و تغییر وضعیت مکرر بیمار بود به کار برند. محققان در تجزیه و تحلیل نتایج به مدارکی دال بر اثر مثبت لیزر کم توان به عنوان درمان کمکی برای التیام زخم فشاری نرسیدند. آن‌ها در توجیه نتایج خود اعلام کردند که پارامترهای لیزر را بر اساس نتایج مثبت تحقیقات حیوانی و انسانی انتخاب کرده بودند و همچنین آن‌ها در این تحقیق به تعداد نمونه بیماران توجه کرده و تعداد نمونه بیماران کافی بوده است و دوز لیزر را به‌طور دقیق کنترل کرده بودند و معیار ارزیابی التیام زخم کاهش سطح زخم بوده است که این نه تنها کاهش نیافت بلکه در برخی از بیماران چهار اختلال شد و شاید دلیل آن‌ها زیاد نبودن تعداد بیماران به حد کافی بوده است که نتوانسته اثر مثبت لیزر درمانی را نشان دهد. آن‌ها همچنین اعلام کردند که برخی فاکتورهای انسانی که بر التیام زخم تأثیر می‌گذارد را بررسی نکردند و آن‌ها اصل توزیع تصادفی بیماران را در نظر گرفته بودند [۵۸].

در این قسمت به بررسی مقالاتی می‌پردازیم که تأثیر مثبت لیزر منقطع را بر انواع زخم‌ها در مدل‌های آزمایشگاهی سالم و غیر دیابتی آزمایش کرده‌اند. ماتیس (Matic) و همکاران تأثیر انواع میدان‌های الکترومگنتیک را بر فرایند ترمیم زخم پوستی در حیوان آزمایشگاهی موش

نتایج منفی در گروه تحت تابش لیزر با دوز $0/0^3$ ژول بر سانتی متر مربع را مشخص کند.

از طرفی تابش با دوز $0/2$ ژول بر سانتی متر مربع موجب افزایش نیروی حداکثر در موش‌های سالم و دیابتی شد که با نتایج سایر تحقیقات راجع به اثر مثبت لیزر کم توان پیوسته روی زخم‌های دیابتی هماهنگی دارد [۳۹، ۴۰، ۴۸-۵۲ و ۵۴]. محققان گزارش کرده‌اند که لیزر‌های با طول موج مختلف آثار متفاوتی بر سیستم‌های بیولوژیک دارد [۵۰]. تحقیقات نشان داده است واکنش به پرتو تولید شده توسط طول موج‌های نزدیک به طول موج به کار رفته در تحقیق حاضر از غشای سلول شروع می‌شود و منجر به وقایعی می‌شود که منجر به تولید واکنش‌های فتوشیمیایی به وسیله بافت می‌شود [۵۰] که این مطلب ممکن است از دلایل اثر بخشی لیزر در تحقیق اخیر باشد.

تابش لیزر منقطع با طول موج 890 نانومتر و تکرار موج 80 هرتز و مدت زمان موج 180 میکرو ثانیه و دوز $0/2$ ژول بر سانتی متر مربع به صورت 6 بار در هفته موجب تسريع بخشی فرآیند التیام زخم پوستی در موش‌های صحرایی سالم و دیابتی شده به وسیله تجویز استرپتوزوتونین شد که تابش لیزر اثر بیشتری از نظر استحکام بر زخم‌های دیابتی داشت که این نتیجه به وسیله آزمایش‌های تنسیومتری مشخص شد. تحقیقات بیشتر با استفاده از روش‌های ارزیابی سلولی و مولکولی پیشنهاد می‌شود.

References

- Azizi F, Gouya MM, Vazirian P, Dolatshahi P, Habibian S.** Screening for type 2 diabetes in the Iranian national programme:a pre liminary report. East Mediterr Health J 2003, 9: 1122-7.
- National hospital Discharge Survey:** Detailed Diagnosis and procedures. National center for Health statistics, Washington, DC, 1995.
- Arrow AK.** Biotechnology in wound care. 4th ed. Los Angeles, Calif: Wedbush Morgan Securities, 1995, pp 1-82.
- Carlson MA.** Acute wound failure. Surg Clin North Am 1997; 77: 607-36.
- Clapp CL, Bloom DC.** Gene therapy, electroporation , and the future of wound healing

- therapies. *Facial Plast Surg* 2002; 18: 53-7.
6. **Man LX, Park JC, Terry MJ, Mason JM, Burrell WA, Liu F, et al.** Lentiviral gene therapy with platelet derived growth factor B sustains accelerated healing of diabetic wounds over time. *Ann Plast Surg* 2005; 55: 81-6.
 7. **Nagai MK, Embil JM.** Bepaclymin recombinant platelet derived growth factor, a new treatment for healing diabetic foot ulcers. *Expert Opin Biol Ther* 2002; 2: 211-8.
 8. **Greenhalgh DG.** Wound healing and diabetes mellitus, A review. *Clin Plast Surg* 2003; 30: 37-45.
 9. **Mester E, Jaszagi-Nagy E.** The effect of laser radiation on wound healing and collagen synthesis. *Studia Biophys* 1973; 35: 227-34.
 10. **Mester E, Spiry T, Szende B, Tota JG.** Effect of laser rays on wound healing. *Am J Surg* 1971; 122: 532-5.
 11. **Hashemi JT, Huang YY, Sharma SK, Kurup DB, De Taboada L, Carroll JD, et al.** Effect of pulsing in low-level light therapy. *Lasers Surg Med* 2010; 42: 450-66.
 12. **Webb C, Dyson M, Lewis WH.** Stimulatory effect of 660 nm low level laser energy on hypertrophic scar – derived fibroblast: possible mechanisms for increase in cell count 1998; 22: 294-301.
 13. **Kreisler M, Christoffers AB, Al-Haj H, Willershausen B, d'Hoedt B.** Low level 809-nm diode laser-induced in vitro stimulation of the proliferation of human gingival fibroblasts. *Lasers Surg Med* 2002; 30: 365-9.
 14. **Pereira AN, Eduardo EP, Matson E, Marques MM.** Effect of low power laser irradiation on cell growth and procollagen synthesis of cultured fibroblast. *Lasers Surg Med* 2002; 31: 263-7.
 15. **Medrado AR, Pugliese LS, Reis SR, Andrade ZA.** Influence of low – level laser therapy on wound healing and its biologic action upon myofibroblasts. *Lasers Surg Med* 2003; 32: 239-44.
 16. **Matic M, Lazetic B, Poljacki M, Djuran V, Matic A, Gajinov Z.** Influence of different types of electromagnetic fields on skin reparatory processes in experimental animals. *Lasers Med Sci* 2009; 24: 321-7.
 17. **Bihari I, Mester AR.** The biostimulative effect of low – level laser therapy on longstanding crural ulcers using helium – neon laser plus infrared lasers and non coherent light: preliminary report of a randomized double blind comparative study. *Laser Therapy* 1989; 1: 97-8 .
 18. **Hopkins JT, McLoda TA, Seegmiller JG, David Baxter G.** Low-Level Laser Therapy Facilitates Superficial Wound Healing in Humans: A Triple-Blind, Sham-Controlled Study. *J Athl Train*. 2004; 39: 223-9.
 19. **Bajpai A, Bhargava S, Kumar Jain NK, Gupta PK.** Role of low – level nitrogen laser therapy in chronic drug resistance pulmonary tuberculosis. *Indian J Tuberc* 2006 ; 53: 135-40.
 20. **Gur A, Karakoc M, Cevik R, Nas K, Sarac AJ, Karakoc M.** Efficacy of low – power laser therapy and exercise pain and function in chronic low back pain. *Lasers Surg Med* 2003; 32: 233-8.
 21. **Gur A, Cosut A, Sarac AJ, Cevik R, Uyar A.** Efficacy of different therapy regimes of low power laser in painful osteoarthritis of the knee: a double blind and randomized controlled trial. *Lasers Surg Med* 2003; 33: 330-8.
 22. **Gur A, Sarac AJ, Cevik R, Altinaday O, Sarac S.** Efficacy of 904 nm gallium arsenide low-level laser therapy in management of chronic myofacial pain in neck: a double blind and randomized – controlled trial. *Lasers Surg Med* 2004; 35: 229-35.
 23. **Chang W-D, Wu J-H, Jiang J-A , Yeh C-Y, Tasi CT.** Carpal tunnel syndrome with a diode laser : a controlled treatment of the transvers carpal ligament. *Photomed Laser Surg* 2008; 26: 551-7.

24. Thawer HA, Houghton PE. Effect of laser irradiation on the growth and development of fetal mouse limbs in an in vitro model Lasers Surg Med. 1999; 24: 285-95.
25. Ilic S, Leichliter S, Streeter J, Oron A, De Taboda L, Oron U. Effect of power densities, continuous and pulse frequencies and number of sessions of low – level laser therapy on intact rat brain. Photomed Laser Surg 2006; 24: 458-66.
26. Lauto A, Trickett R, Malik R, Dawes JM, Owen ER. Laser activated solid protein bands for peripheral nerve repair. Lasers Surg Med 1997; 21: 134-41.
27. Byrnes KR, Waynant RW, Ilev IK, Wu X, Barna L, Smith K, et al. Light promotes regeneration and functional recovery and alters the immune response after spinal cord injury. Lasers Surg Med 2005; 31: 171-85 .
28. Detaboda L, Ilic C, Leichiter – Martha S, Oron U, Oron A, Streeter J. Transcranial application of low – energy laser irradiation improves neurological deficits following acute stroke: Lasers Surg Med 2006 ; 38: 70-3 .
29. Lapchak PA, Salgado KF, Chao CH , Zivin JA. Transcranial near-infrared light therapy improves motor function following embolic strokes in rabbits: an extended therapeutic window study using continuous and pulse frequency delivery modes. Neuroscience 2007; 148: 907-14.
30. Mohammed IF, Al-Mustawfi N, Kaka LN. Promotion of regenerative processes in injured peripheral nerve induced by low-level laser therapy. Photomed Laser Surg 2007; 25: 107-11.
31. Lim KS , Kim JK , Kim SW. Effect of low level laser irradiation (LLLI) with 904 nm pulsed diode laser on osteoblasts: a controlled trial with the rat osteoblast model. Laser Therapy 1996; 8, 223-32.
32. Udea Y, Shimizu N. Effects of pulse frequency of low – level laser therapy (LLLT) on bone nodule formation in rat calvarial cells . J Clin Laser Med Surg 2003; 21: 271-7 .
33. Guzzardella GA, Fini M, Torricelli P, Giavaresi G, Giardino R. Laser stimulation on bone defect healing : an in vitro study. Lasers Med Sci 2002; 17: 216-20.
34. Guzzardella GA, Torricelli P, Nicoli-Aldini N, Giardino R. Osseointegration of endosseous ceramic implants after postoperative low-power laser stimulation: an in vivo comparative study. Clin Oral Implants Res 2003; 14 ; 226– 32 .
35. Fung DC , Ng GY , Leung MC , Tay DK . Therapeutic low energy laser improve the mechanical strength of repairing medial collateral ligament. Lasers Surg Med 2002; 31: 91-6 .
36. Fung DT, Ng GY, Leung MC, Tay DK. Effects of therapeutic laser on the ultrastructural morphology of repairing medial collateral ligament in a rat model. Lasers Surg Med 2003; 32: 286– 93.
37. Bjordal JM, Lopes-Martins RA, Iversen VV. A randomised, placebo controlled trial of low level laser therapy for activated Achilles tendinitis with microdialysis measurement of peritendinous prostaglandin E2 concentrations. Br J Sports Med 2006; 40: 76–80.
38. Demir H , Balay H , Kirnap M. A comparative study of the effects of electrical stimulation and laser treatment on experimental wound healing in rats . J Rehabil Res Dev 2004; 41: 147–54.
39. Kawalec JS, Hetherington VJ, Pfennigwerth TC, Dockery DS, Dolce M. Effect of a diode laser on wound healing by using diabetic and non diabetic mice. J Foot Ankle Surg 2004; 43, 214-20.
40. Byrnes KR, Barna L, Chenault VM, Waynant RW, Ilev IK, Longo L, et al. Photobiomodulation improves cutaneous wound healing in an animal model of type II diabetes. Photomed Laser Surg 2004; 22: 281-90.
41. Meireles GC, Santos JN, Chagas PO, Moura AP, Pinheiro AL. Effectiveness of laser photobiomodulation at 660 or 780 nanometers on

- the repair of third-degree burns in diabetic rats. Photomed Laser Surg 2008; 26: 47-54.
42. **Anneroth G, Hall G, Rydén H, Zetterqvist L.** The effect of low-energy infra-red laser radiation on wound healing in rats. Br J Oral Maxillofac Surg 1988; 26: 12-17.
43. **Cambier DC, Vanderstraeten GG, Mussen MJ, van der Spank JT.** Low-power laser and healing of burns: a preliminary assay. Plast Reconstr Surg 1996; 97: 555-8.
44. **Lagan KM, Clements BA, McDonough S, Baxter GD.** Low intensity laser therapy (830nm) in the management of minor postsurgical wounds: a controlled clinical study. Lasers Surg Med 2001; 28: 27-32 .
45. **Schlager A, Oehler K, Huebner KU, Schmuth M, Spoetl L.** Healing of burns after treatment with 670-nanometer low-power laser light. Plast Reconstr Surg 2000; 105: 1635-9.
46. **Schlager A , Kronberger P , Petschke F , Ulmer H .** Low – power laser light in the healing of burns: a comparison between two different wavelengths (635 nm and 690 nm) and a placebo group .Lasers Surg Med 2000 ; 27: 39-42 .
47. **Al – Watban FA, Delgado GD.** Burn healing with a diode laser : 670 nm at different doses as compared to placebo group. Photomed Laser Surg 2005; 23: 245-50.
48. **Carvalho Pde T, Silva IS, Reis FA, Perreira DM, Aydos RD.** Influence of ingaap laser(660 nm)on healing of skin wounds in diabetic rats. Acta Cir Bras 2010; 25:71-90.
49. **Rabelo SB,Villaverde AB, NicolauR, Salgado MC, Melo Mda S, Pachco MT.** Comparison between wound healing in induced diabetic and nondiabetic rats after low-level laser therapy. Photomed Laser Surg 2006; 24: 474-9.
50. **Reddy GK.** Comparison of the biostimulatory effect of visible He-Ne and infrared Ga-As lasers on healing impaired diabetic rat wounds.laser Surg Med 2003; 33: 344-51.
51. **Mirzaei M, Bayat M, Mosafa N, Mohsenifar Z, Piryaei A, Farokhi B, et al.** Effect of low-level laser therapy on skin fibroblasts of streptozotocin-diabetic rats. Photomed Laser Surg 2007; 25: 519-25.
52. **Hourelid NN, Albrahamse H.** Effectiveness of helium-neon laser irradiation on viability and cytotoxicity of diabetic-wounded fibroblast cells. Photomed Laser Surg 2007; 25: 474-81.
53. **Bayat M, Abdi S, Javadieh F, Mohsenifar Z, Rashid MR.** The effects of low-level laser therapy on bone in diabetic and nondiabetic rats. Photomed Laser Surg 2009;27:703-8.
54. **Reddy GK, Stehno-Bittel L, Enwemeka CS .** Laser photostimulation accelerates wound healing in diabetic rats. Wound Repair Regen 2001;9:248-55.
55. **Nussbaum EL, Biemann I, Mustard B.** Comparison of ultrasound/ultraviolet-C and laser for treatment of pressure ulcers in patients with spinal cord injury. Phys Ther 1994; 74:812-23.
56. **Karu T, Tiphlova O, Samokhina M, Diamantopoulos C, Sarantsev VP, Shveikin V.** Effect of near-infrared laser and super luminous diode irradiation on Escherichia coli division rate. IEEE J Quantum Electronics 1990; 26: 2162-5.
57. **Lowe AS, Walker MD, O'Byrne M, Baxter GD, Hirst DG.** Effect of low intensity monochromatic light therapy(890 nm) on a radiation-impaired, wound healing model in murine skin. Lasers Surg Med 1998; 23:291-8.
58. **Lucas C, Van Gemert MJC, de Haan RJ.** Efficacy of low level laser therapy in the management of stage III decubitus ulcer a prospective, observer-blinded multicenter randomized clinical trial. Laser Med Sci 2003; 18: 72-77.
59. **Vasheghani MM, Bayat M, Dadpay M, Habibi M, Rezaei F.** Low level laser therapy using 80 Hz pulsed infrared diode laser accelerates third-degree

- burn healing in rat. Photomed Laser Surg 2009; 27: 959-64.
60. **Barolet D, Duplay P, Jacomy H, Auclair M.** Importance of pulsing illumination parameters in low-level-light therapy. J Biomed Optic 2010; 15:048005.

Archive of SID